

基于图像匹配的运动背景补偿方法

李王伟, 雷蕴奇

(厦门大学计算机科学系 福建 厦门 361005)

【摘要】 本文提出了在运动背景下车辆检测的一种有效的算法。首先对前后两帧进行稀疏块匹配,计算出摄像机全局运动速度和方向,经过运动补偿后再通过两帧差分检测出运动区域,最后利用形态学膨胀消除边缘断裂,后经过种子填充,计算连通域面积,去除噪声区域。实验表明,在运动背景的车辆检测应用上,能够较准确地提取出目标车辆。

【关键词】 运动背景 车辆检测 匹配算法

1 引言

随着社会经济的不断发展,城市规模和私人拥有车辆的增加,交通监管的工作量大大增加,利用电子摄像机对各种交通违法行为进行监控越来越受到重视。应用先进的计算机视频处理技术,利用摄像机采集车辆信息,并自动进行检测,跟踪和识别,能及时发现违法违规车辆,并进行抓拍,有效地抑制交通事故的发生,保护人民的生命财产安全。

现阶段,利用摄像机和计算机进行视频自动监测和识别,主要应用于摄像机静止的情况下。在这种情况下,由于背景固定,相对来说,利用背景减除,帧差分等方法能够得到较为理想的结果。而基于运动背景的车辆检测和识别由于技术上的难点,至今并没有比较通用的方法出现。

Wouter Beck [1] 提出利用频域相关匹配法计算全局运动参数,这种方法需要对整幅图进行运算,计算量大,而且在目标车辆比较大的情况下误差较大。Weng [2] 采用图像边缘和角点作为特征的光流方法,Cumani [3] 在每个边缘点处提取三个属性来进行光流特征匹配。以上光流方法缺点在于每个点的计算量大,虽然可以较准确地估算全局运动,但是对于噪声比较敏感,特征的匹配问题还没有很好的得到解决。

本文在单摄像机的条件下,对运动背景下车辆检测做了初步的研究,通过对两帧间进行稀疏块匹配,利用运动补偿来消除动态背景的影响,通过帧差分来定位运动区域,通过数学形态学的腐蚀膨胀来去除杂点和噪声,再计算连通区域,提取出运动车辆,取得了较为满意的结果。

2 运动目标的检测过程

2.1 前后两帧图像的运动补偿

由于摄像机运动的影响,前后两帧上的背景虽然相差无几,但是却发生了一定程度的近似平移,我们不认为它是绝对平移,是因为实际背景是三维的,而反映在镜头上是二维的图像,因此远处的景物和近处的景物发生的平移量是不同的。但是无论如何,整个背景的运动是由于摄像机的运动产生的,我们可以估计摄像机的运动参数,进而估算每一点的平移量。

由于背景运动的存在,直接进行帧差分难以取得良好的效果(图 1a,图 1b),可以看到,图片上很难辨别出车辆。因此我们先对图像帧做运动补偿来尽量消除它对后续工作的影响。

为了提高背景运动估计的鲁棒性,我们把 640*480 的后一帧图像分为 20*15 的块,对前一帧进行匹配。为了提高实时性,我们基于以下几个方面进行了优化:

1. 由于假设背景平移,不必对所有的块进行匹配,水平每四个块随机选取其中的一块,垂直每三个块随机选取一块。
2. 一般监控视频中车辆位于中心位置,为尽量避免选取到前景车辆,我们对中间的 8*6 块不做处理。
3. 考虑到实际车辆的速度,利用摄像机标定的先验知识,行驶的车辆,相邻两帧间的背景运动一般不超过 10 个像素。对于每个 32*32 的图像块,我们只要在 56*56 的框内进行计算,而不必全屏匹配,缩小了计算量。

匹配结束后,采用八参数的双线性模型来估计摄像机的运

动参数。

$$\begin{cases} v_x = axy + bx + cy + d \\ v_y = exy + fx + gy + h \end{cases} \quad (1)$$

其中, (x, y) 是点坐标, v_x 和 v_y 是该点在 x 轴和 y 轴的分量, a,b,c,d,e,f,g,h 是要估算的参数。

我们采用最小二乘估计 [4] 来估算八个参数,由于最小二乘估计对于噪声非常敏感,采用了如下的迭代算法来尽量消除误差的影响:

- (1) 取所有的匹配块估计全局运动参数 v_x 和 v_y 。
- (2) 计算平均误差值

$$E = \frac{1}{n} \sum \sqrt{(v_x - v_{x_i})^2 + (v_y - v_{y_i})^2} \quad (2)$$

其中 N 是所有的匹配块数, E 为平均误差。

(3) 以 E 为阈值,把所有和平均误差的差值大于 E 的匹配块删除,剩下的匹配块转到第(1)步重新迭代。如果删除的块为 0,则迭代结束。

迭代结束后,可以认为留下来的匹配块都是有效的,此时可以利用二乘估计法估算出八个参数。

在得到摄像机的八个运动参数后,可以利用匹配算法来估计背景运动的大小和方向:

$$\begin{cases} v = x + v_x \\ v = y + v_y \end{cases} \quad (3)$$

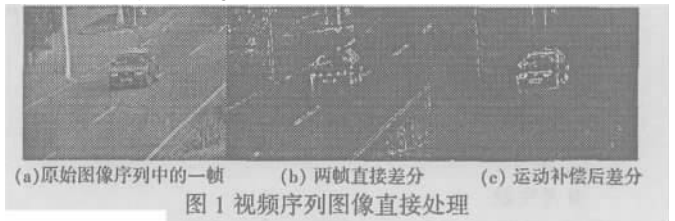
其中, x, y 和 x', y' 分别是修正过的和原来的像素点, v_x 和 v_y 是背景运动在 x 轴和 y 轴的分量,可以利用公式(1)计算。

把后一帧图像经过运动补偿后,可以近似认为,它和前一帧图像背景不变。直接进行差分,同时把图像二值化以便后续处理:

令 {In} 为输入的图像帧,则连续两帧之间像素的差值 D_n 定义为:

$$\begin{aligned} D_n(i,j) &= |I_n(i,j) - I_{n-1}(i,j)| \\ \text{设定阈值 } T1, \text{ 则:} \\ f_n(i,j) &= \begin{cases} 255, & D_n(i,j) \geq T1 \\ 0, & \text{OTHERS} \end{cases} \end{aligned} \quad (4)$$

差分结果如图 1c 所示:



2.1 噪声的处理

从图 1(c) 中我们可以看到车辆边缘有一些断裂,这是由于运动补偿过程中的误差,以及背景本身运动等因素造成的。我们采用数学形态学中的条件膨胀方法 [4] 进行处理:

- (1) 如果当前像素 A(x0,y0) 是黑色,则遍历其 3*3 邻域。
- (2) 若有一点 B(x1,y1) 是白色,转(3);否则转(4)。

(3) 遍历 A 点 7×7 邻域, 统计邻域内黑点数目, 若大于阈值 T_2 , 则把 A 进行膨胀, 即赋值为白色。

(4) 处理下一像素。

膨胀算法的结果如图 2(c) 所示。

由于帧差算法的局限性, 车辆内部会产生空洞, 这些空洞有时会导致下面空穴检出的失败。我们先利用种子填充算法^[4]对车辆内部进行填充(图 2d)。

图像由于摄像机本身抖动等因素会存在一些噪声和杂点, 但是这些相对于车辆来说, 区域较小, 在这里我们对图像进行空穴检出^[4], 检查每个空穴即连通的白色区域内白点数目, 如果小于阈值 T_3 , 就将当前空穴所有像素赋以背景值 0, 进行消除。最后图像中留下的大块白色区域, 就是我们所要提取的运动目标(图 2e)。

3 实验结果及分析

本文选取充足光照下出租车的情况进行处理, 采用帧大小为 640×480 , 帧速 25fps 的 24 位 RGB 视频序列图像, 阈值分别取为 $T_1=50$, $T_2=15$, $T_3=100$ 。

从图 2 中我们可以看到, 运动车辆被比较完整的提取出来了, 这个结果基本可以让人满意, 这对以后的车型识别以及跟踪等后续工作都是一个不错的前提, 但是也可以看到, 由于噪声以及算法本身的影响, 提取结果并不十分精确, 提高精确度及鲁棒性, 是我们今后需要改善的地方。

经过上述处理的结果如下图所示:

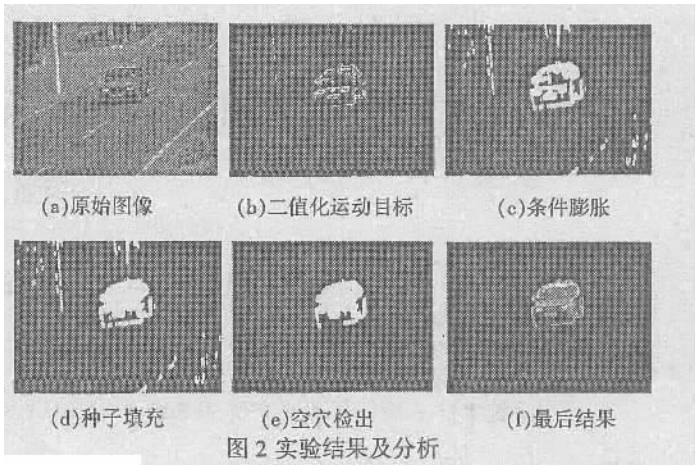


图 2 实验结果及分析

4 结论

本文针对当前交通监控系统的实际状况, 对摄像机运动条件下的车辆检测做了一些尝试, 采用了稀疏块匹配的方法, 结合八参数双线性模型估算摄像机的运动, 进而预测背景运动的位置, 经过补偿后利用两帧差分检测出运动目标, 取得了比较满意的结果。本文的算法稳定性和鲁棒性都有待进一步提高, 考虑到交通监控系统的实时性要求, 算法也有待优化以提高运算速度。

参考文献

- [1] Wouter Beck, Image enhancement and moving target detection in IR image sequence, SPIE Vol.2020, 1993, 187- 197.
- [2] Weng J, A huja N, Huang T S, Matching two perspective views, IEEE trans Pattern Analysis and Machine Intelligence 1992, PAM I- 14(8):814- 820
- [3] Cumani A, Guiducci A, Grattoni P, Image description of dynamic scenes, Pattern Recognition 1991, 24(7):661- 673
- [4] Milan Sonka, Vaclav Hlavac, Roger Boyle 著, 艾海舟 武勃等译, 图像处理、分析与机器视觉(第二版), 人民邮电出版社, .2003.9
- [5] 陈昌明, 数值分析, 厦门大学出版社, 1998.7

(上接第 82 页)

4 避免 java 内存泄漏

Java 中的内存泄漏是很难解决的, 但庆幸的是大多数 java 程序中的内存泄漏都十分相似。因此, 典型的内存泄漏的种类并不多, 而且丰富的经验和合适的工具, 将有助于更容易地找出它们。下面, 我将描述一些常见的内存泄漏类型。

4.1 忘记删除失效的对象

() 一个十分常见的错误是, 把对象放入混编表或混编图中, 但在不再需要它们时却忘了删除它们。

() 另一种常见的内存泄漏是, 把对象插入到一些其他类的集合中, 但在使用之后没有完全删除它们。

4.2 类装载器

Java 类装载器创建就存在很多导致内存泄漏的漏洞。由于类装载器的复杂结构, 使得很难得到内存泄漏的透视图。这些困难不仅仅是由于类装载器只与“普通的”对象引用有关, 同时也和对象内部的引用有关, 比如数据变量, 方法和各种类。这意味着只要存在对数据变量, 方法, 各种类和对象的类装载器, 那么类装载器将驻留在 JVM 中。既然类装载器可以同很多的类关联, 同时也可以和静态数据变量关联, 那么相当多的内存就可能发生泄漏。

参考文献

- [1] BILL VENNERS. Inside the Java Virtual Machine, Secend Edition.
- [2] BRUCE ECKEL. Thinking in Java, Third Edition. American: Prentice Hall, 2003
- [3] JIM PATRICK. Handling memory leaks in Java programs. <http://www-106.ibm.com/developerWorks/library/j-leaks/index.html>, Feb 2001.
- [4] HELENA ABERG OSTLUND. Memory Leak Detection with the JRockit JVM, Feb 2005.
- [5] Jrockit Userguide. <http://e-docs.bea.com/wjrockit/docs142/userguide/memleak.html>.

4.3 全局集合

在大型应用程序中存在各种各样的全局数据仓库是很普遍的, 比如一个 JNDI-tree 或者一个 session table。在这些情况下, 注意力就被放在了管理数据仓库的大小上。当然是有一些适当的机制可以将仓库中的无用数据移除。可以有多种不同的解决形式, 其中最常用的一种周期运行的清除作业。这个作业会验证仓库中的数据然后清除一切不需要的数据。另一个办法是计算引用的数量。集合负责跟踪集合中每个元素的引用者数量。这要求引用者通知集合什么时候已经对元素处理完毕。当引用者的数目为零时, 就可以移除集合中的相关元素。

5 总结

Java 也存在内存泄露问题, 其原因主要是一些对象虽然不再被使用, 但它们仍然被引用。为了解决这些问题, 我们可以通过软件工具来检查内存泄露, 检查的主要原理就是暴露出所有堆中的对象, 让程序员寻找那些无用但仍被引用的对象。内存泄漏查找起来非常困难, 为了在程序开发中减少内存泄漏, 文章中列举了一些避免泄漏的例子, 以便于开发出安全, 健壮的应用系统。